

## 補剛ケーブルを有する斜め吊弦吊橋の静力学的特性について

大阪大学工学部 正員 小松定夫

大阪大学工学部 正員 面村宣男

大阪大学大学院 学生員 長井正嗣

まことに 本州、四国連絡橋の架設を前にして、各所で吊橋の解析が進められているが、吊橋の一層の長経間化、あわせて軽量化を計る為に斜吊材を採用し、かつ補剛ケーブルによりてプレストレスを導入した形式について、解析を行った。斜め吊弦吊橋の解析にあたっては、幾多の文献がみられるが、今回は、従来膜理論の精度が悪いといわれている点を、解析モデルの自由度を増やし、複数式を改良した形で解析を進めた。すなわち吊橋の橋軸方向のつまり合いを完全に考慮して、基礎方程式を誘導し、鉛直たわみ、ねじり変形に対して数値計算を行った。

2 基礎方程式 基礎方程式の諸尊にあたって、まず架設完了後のつまり合い状態は次式で与えられるケーブル水平初期張力が導入されているものとする。

$$H_{dm} = \frac{C^2}{8f_m} (m_c + m_{cs} + m_g + P_r), \quad H_{ds} = \frac{C}{8f_s} P_r$$

### 2-1 鉛直たわみに関する基礎方程式

補剛桁Y軸方向のつまり合いより

$$E I_{z'} U'' - (H_{dm} + H_{ds} + H_{pm}(0) + H_{ps}(0)) U'' + (H_{pm} h_m)'' - (H_{ps} h_s)'' = P$$

補剛桁X軸方向のつまり合いより  $N' + H_{pm}' + H_{ps}' = 0$

ケーブル方程式  $U_c' = C_1 H_{pm} - Y_m' U', \quad U_s' = C_2 H_{ps} + Y_s' U'$

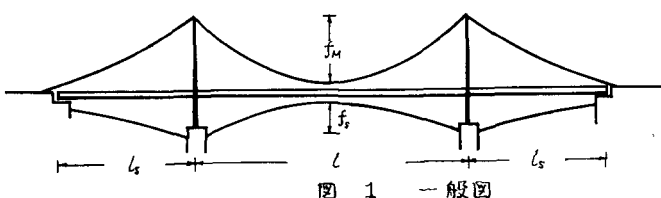
ハンガーとトラスの適合条件式  $U - U_c = -C_3 H_{pm}' - U' f_m, \quad U_s - U = C_4 H_{ps} - U' f_s$

補剛桁X軸方向、断面力-変位関係  $N' = C_5 U''$

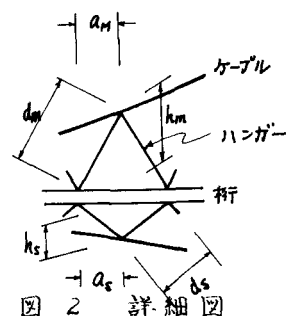
以上の方程式より変位  $U$ ,  $U_c$ ,  $U_s$  に関する次の非線型連立微分方程式を得る。

$$\begin{aligned} E I_{z'} U'' - (H_{dm} + H_{ds} + H_{pm}(0) + H_{ps}(0) + \frac{h_m^2}{C_3} + \frac{h_s^2}{C_4}) U'' + (\frac{-3h_m h_m}{C_3} + \frac{C_2' h_m^2}{C_2^2} - \frac{h_m h_m''}{C_1} - \frac{3h_s h_s''}{C_4} + \frac{C_3' h_s}{C_4}) \\ - (\frac{f_m^2 f_s''}{C_2}) U'' + (-\frac{h_m}{C_3} + \frac{h_s}{C_4}) U' + (\frac{C_3' h_m}{C_2^2} - \frac{2h_m^2}{C_3} - \frac{C_2' f_m}{C_4} + \frac{2h_s^2}{C_4}) U + (\frac{h_m}{C_3} + \frac{h_m''}{C_1}) U_c' + (-\frac{C_3' h_s}{C_2^2} + \frac{2h_m^2}{C_4}) U_s' - (\frac{C_2' f_s}{C_4} + \frac{2h_s^2}{C_4}) U_s = P \\ \frac{y_m'}{C_1} U'' + (\frac{h_m''}{C_1} - \frac{C_3' y_m}{C_1^2} + \frac{f_m}{C_3}) U' + \frac{1}{C_1} U_c' - \frac{C_1'}{C_3} U_c + \frac{1}{C_3} U + \frac{1}{C_3} U = 0 \\ - \frac{y_s'}{C_2} U'' - (\frac{h_s''}{C_2} - \frac{C_3' y_s}{C_2^2} + \frac{f_s}{C_4}) U' + \frac{1}{C_2} U_s' - \frac{C_2'}{C_4} U_s - \frac{1}{C_4} U_s + \frac{1}{C_4} U = 0 \\ C_5 U'' - (\frac{1}{C_3} + \frac{1}{C_4}) U + (\frac{f_m}{C_4} - \frac{f_s}{C_3}) U' + \frac{1}{C_3} U_c + \frac{1}{C_4} U_s = 0 \end{aligned}$$

ここで、  $C_1 = \sec^3 \psi / E A_c, \quad C_2 = \sec^3 \psi / E_c A_{cs}, \quad C_3 = d_m^3 / E_H A_H a_m, \quad C_4 = d_s^3 / E_H A_H a_s, \quad C_5 = E_s A_g$



2-2 ねじりに関する基礎方程式 補剛桁のねじりに関するつまり合い式諸尊に関しては、ねじり変形は微小と考えて、次



のような線型の仮定を設ける。すなわち左右ケーブルの橋軸方向の変位は遠で等しい。したがって左右ケーブルの付加張力の和は0であり、かくして補剛筋橋軸方向変位は0である。

補剛筋のねじりに因するつり合式

$$EC_w \phi'' - \{ GJ + \frac{b}{2} (Hdm + Hds) \} \phi''' = m_t + \frac{b}{2} \{ \{(H_{pmr} - H_{pme}) f_m\}''' - \{(H_{psr} - H_{psl}) f_s\}''' \}$$

ケーブル方程式およびハニガーヒトフスの適合条件式

$$C_1 (H_{pmr} - H_{pme}) = 2U_c' + b\phi'Y_s'$$

$$C_2 (H_{psl} - H_{psr}) = 2U_s' - b\phi'Y_s'$$

$$C_3 (H_{pmr}' - H_{pme}') = 2U_c - b\phi'h_m$$

$$C_4 (H_{psl}' - H_{psr}') = 2U_s + b\phi'h_s$$

以上より変位  $U_c$ ,  $U_s$ ,  $Y_s$  に関する次の線型連立微分方程式を得る。

$$\begin{aligned} EC_w \phi''' - \{ GJ + \frac{b^2}{2} (Hdm + Hds + \frac{h_m^2}{C_3} + \frac{h_s^2}{C_4}) \} \phi''' &= -\frac{b^2}{2} \left( \frac{3h_m^2 h_m}{C_3} - \frac{C_3 h_m'}{C_3} + \frac{h_m^2 h_m'}{C_1} + \frac{3h_s^2 h_s'}{C_4} - \frac{C_4 h_s^2}{C_4} + \frac{h_s^2 h_s'}{C_2} \right) \phi''' \\ &+ \frac{b}{2} \left( \frac{2h_m}{C_3} + \frac{2h_m'}{C_1} \right) U_c'' - \frac{b}{2} \left( \frac{2C_3' h_m}{C_3} - \frac{4h_m'}{C_3} \right) U_c - \frac{b}{2} \left( \frac{2h_s}{C_4} + \frac{2h_s'}{C_2} \right) U_s'' + \frac{b}{2} \left( \frac{2C_4' h_s}{C_4} - \frac{4h_s'}{C_4} \right) U_s = m_t \\ &\quad \frac{2}{C_1} U_c''' - \frac{2C_3'}{C_3} U_c'' - \frac{2}{C_3} U_c - \frac{b h_m^2}{C_1} \phi''' + b \left( \frac{h_m}{C_3} + \frac{C_3' h_m'}{C_1^2} - \frac{h_m'}{C_1} \right) \phi' = 0 \\ &\quad \frac{2}{C_2} U_s''' - \frac{2C_4'}{C_4} U_s'' - \frac{2}{C_4} U_s + \frac{b h_s^2}{C_2} \phi''' - b \left( \frac{h_s}{C_4} + \frac{C_4' h_s'}{C_2^2} - \frac{h_s'}{C_2} \right) \phi' = 0 \end{aligned}$$

3 敷値計算 一従間 2 ハニガーヒトフスの線型連続補剛筋の形式について数値計算を行った。具体的な手法としては、中央差分による差分法を適用した。図 3 に鉛直荷重によるたわみ、図 4 にはじり荷重によるねじれ角分布の例を示した。

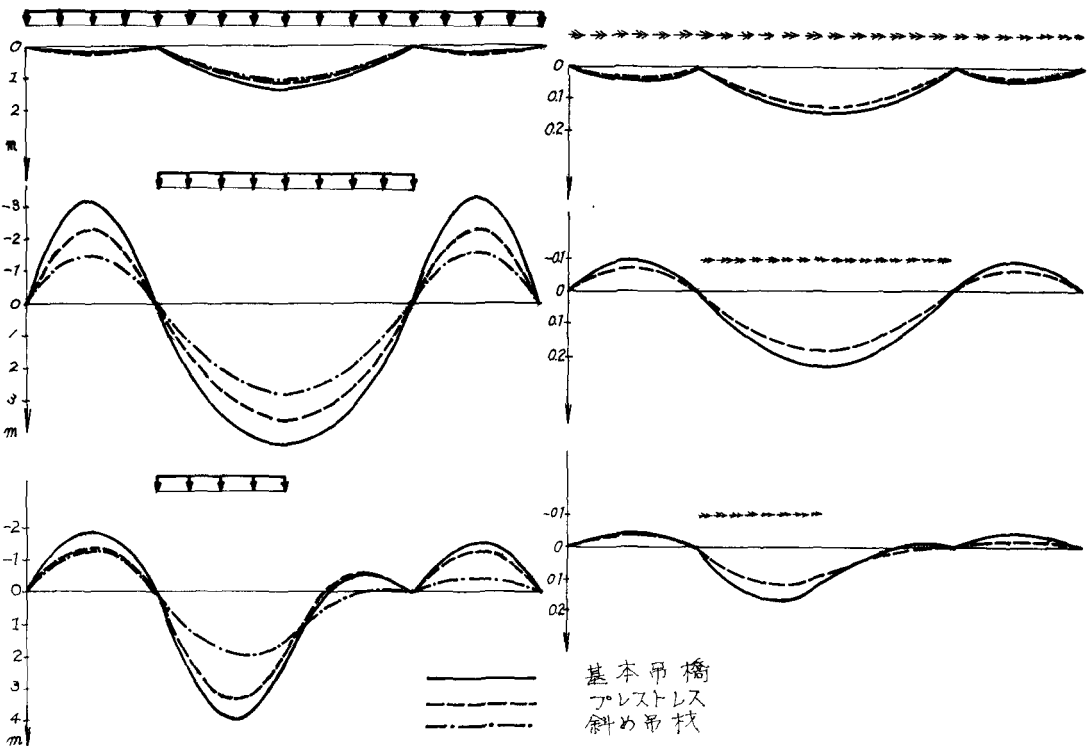


図 3 鉛直荷重によるたわみ

図 4 ねじり荷重によるねじれ角